

مقاله پژوهشی

جdasازی و کشتوالیه هپاتوسیت‌های کبد رت با استفاده از آنزیم اکتینیدین میوه کیوی

زینب شیروانی فارسانی^{*}، کامران منصوری^{**}، دکتر علی بیدمشکی پور^{***}، دکتر علی مصطفایی^{****}

دریافت: ۸۵/۹/۱۰، پذیرش: ۸۶/۳/۲۱

چکیده:

مقدمه و هدف: برای تجزیه ماتریکس خارج سلولی، جdasازی و کشتوالیه سلول‌ها، از آنزیم‌های پروتئولیتیک، بخصوص کلائزاز برای هضم بافت استفاده می‌شود. یافتن پروتئاز جایگزین کلائزازهای باکتریایی یا جانوری در منابع گیاهی که راحت‌ر و کم هزینه تر تخلیص گردد، از اهمیت ویژه‌ای برخوردار است. در مطالعه حاضر از آنزیم اکتینیدین که به وفور در میوه کیوی یافت می‌شود، برای جdasازی و کشتوالیه هپاتوسیت‌های کبد موش صحرایی استفاده شد.

روش کار: در این مطالعه تجربی آنزیم اکتینیدین پس از تخلیص، در غلظتها م مختلف با روش پرفیوژن یک و دومرحله‌ای برای جdasازی هپاتوسیت‌های کبد موش صحرایی بکار برده شد. هپاتوسیت‌های جدا شده در پلیت‌های کلائز دار در محیط کشتو ویلیامز- ای کشتو داده شدند. درصد زنده بودن سلول‌های جدادشده با استفاده از آزمون تریپان‌بلو و مورفولوژی سلول‌ها در مرادل کشتو پس از رنگ آمیزی با روش پاپانیکولا بررسی شد.

نتایج: اکتینیدین با غلظت ۴٪ میلی گرم در میلی لیتر در روش پرفیوژن دومرحله‌ای توانست بطور مناسب هپاتوسیت‌های را از کبد موش جدا نماید. درصد سلول‌های جدا شده ۹۰-۹۵ درصد تخمین زده شد. سلول‌ها پس از کشتو در پلیت‌های حاوی کلائز مرفولوژی هپاتوسیت را به وضوح نشان دادند.

نتیجه نهایی: این نتایج نشان داد که اکتینیدین پروتئاز مناسبی برای جdasازی هپاتوسیت‌های از کبد است. بعلاوه، تخلیص اکتینیدین در مقایسه با کلائزازها ساده تر و کم هزینه تر است.

: اکتینیدین / کلائزاز / هپاتوسیت

آزمایشگاه برای انجام مطالعات در زمینه گرفتن دارو و متابولیسم آن، القای سیتوکروم P450، واکنش‌های دارویی مؤثر در متابولیسم کبدی و هپاتوتوكسیسیتی ضرورت دارد (۳،۴). بافت کبد مانند دیگر بافت‌ها شامل سلول‌ها و ماتریکس خارج سلولی مشکل از انواعی از پروتئین‌های رشته‌ای (مانند کلائز و الاستین) و غیررشته‌ای است (۵). یکی از فراوان ترین پروتئین‌های فضای خارج سلولی، کلائز است که انواع مختلفی دارد و در اندام‌های نرم مانند

مقدمه :

کبد جایگاه مهمی در زدودن سموم طبیعی و صناعی از خون دارد و انواعی از پروتئین‌های ناقل همچون لیپوپروتئین، آلبومین و ترانسفرین را می‌سازد (۱،۲). بسیاری از فاکتورهای مولکولی و بیوشیمیایی کنترل کننده بیان و تنظیم ساختار و عملکرد هپاتوسیت‌ها هنوز ناشناخته باقی مانده است. به همین علت، جdasازی هپاتوسیت‌ها از کبد و کشتو اولیه این سلول‌ها در

* کارشناسی ارشد زیست‌شناسی سلولی و مولکولی گروه زیست‌شناسی دانشگاه علوم دانشگاه رازی کرمانشاه

** کارشناسی ارشد هماتولوژی مرکز تحقیقات بیولوژی پزشکی دانشگاه علوم پزشکی کرمانشاه

*** استادیار گروه زیست‌شناسی دانشگاه علوم دانشگاه رازی کرمانشاه

**** دانشیار ایننولوژی مرکز تحقیقات بیولوژی پزشکی دانشگاه علوم پزشکی کرمانشاه (amostafaie@kums.ac.ir)

B ($50 \mu\text{g/ml}$)، کلازن نوع یک (Roche)، آمفورتیسین ($250 \mu\text{g/L}$), سرم جنین گاو، هپارین (FCS، 25 U/ml)، محلول $0/4$ درصد تربیان بلو (Gibco)، ال-گلوتامین (2 mM)، بافریکربنات هنسلیت - کربس (KHB) تحت عنوان بافر شمار ۱ (حاوی $0/3516$ گرم KCl، $0/1357$ گرم NaHCO_3 ، $0/1916$ گرم MgCl_2 ، $0/136$ گرم Na_2SO_4 ، $0/9512$ گرم CaCl_2 ، $0/1108$ گرم NaCl بافر KHB بدون یون های کلسیم و سولفات (بافر ۲)، دستگاه پرفیوژن که در آزمایشگاه ساخته شد و شامل اجزای زیر بود:

۱- بن ماری: دمای 37°C درجه سانتی گراد را برای بافرها، محلول آنزیم و تمام قسمت های دستگاه تأمین می کند.

بن ماری به پمپ ۱ و ظرف دوجداره وصل می شود.

۲- ظرف دوجداره: جدار بیرونی آن (ژاکت)، حاوی آب 37°C درجه است که توسط پمپ ۱ از بن ماری دریافت می شود. قسمت داخلی این ظرف، محل قرار گرفتن بافرها و یا محلول آنزیم است و از پایین به پمپ ۲ متصل است.

۳- پمپ ۱: از یک طرف آب 37°C درجه را از بن ماری به درون ژاکت ظرف دوجداره پمپ می کند و از طرف دیگر، آب درون ژاکت را به بن ماری بر می گرداند و یک چرخه آب بین بن ماری و ظرف دوجداره ایجاد می نماید.

۴- پمپ ۲: از یک طرف به جدار داخلی ظرف و از طرف دیگر توسط سوزن پروانه ای به کبد متصل است و بافر و یا محلول آنزیم را به درون کبد پمپ می کند.

آماده سازی دستگاه پرفیوژن:

۱- آب مقطر استریل درون محفظه بن ماری ریخته و دمای آن روی 37°C درجه سانتی گراد تنظیم شد.

۲- پس از رسیدن دمای آب به 37°C درجه سانتی گراد، پمپ ۱ روشن شد تا آب 37°C درجه وارد ژاکت ظرف دوجداره شود و چرخه آب آغاز گردد.

۳- $5-10$ دقیقه پس از روشن کردن پمپ ۱، 30 میلی لیتر اتانول 70 درصد درون بخش داخلی ظرف ریخته شد.

۴- پمپ ۲ روشن شد و الكل خروجی جمع آوری شد.

۵- مراحل 3 و 4 با 30 میلی لیتر آب مقطر استریل تکرار شد.

۶- پس از خشک شدن اجزای دستگاه، بافر KHB بدون کلسیم و سولفات (بافر ۲) درون بخش داخلی ظرف ریخته شد.

کبد، شبکه رشته ای ظریفی تشکیل می دهد. همه انواع کلازن ساختمان کلی مشابهی متشکل از یک مارپیچ سه تایی دارند (پروکلازن) که از سه زنجیره آلفا به طول 1000 اسید آمینه با توالی تکراری Gly-X-Y-Gly ساخته شده است (X: اغلب پرولین و Y: اغلب هیدروکسی پرولین است) (۵,۶). مولکول کلازن به اغلب پروتئازها غیر از کلازن از مقاوم است (۵,۷). به همین علت از کلازن از جadasازی سلول های مختلف از بافت های جامد همچون کبد استفاده می شود.

اکتینیدین یک سیستئین پروتئاز است که در میوه کیوی به وفور وجود دارد. این پروتئاز از نظر خصوصیات کلی مشابه سایر سیستئین پروتئاز های گیاهی (همچون پائین) و سیستئین پروتئاز های حیوانی (همچون کاتپسین ها) است (۸-۱۰). پیش ساز آنزیم اکتینیدین در سلول (پری پروآنزیم) دارای 302 اسید آمینه و وزنی معادل 32745 دالتون و شکل فعال آنزیم دارای 220 اسید آمینه و وزنی معادل 23508 دالتون است (۱۱,۱۲). اکتینیدین یک پروتئاز مناسب در ترد کردن گوشت است و در هضم مواد پروتئینی در بیماران دارای مشکل گوارشی قابل استفاده می باشد. در چند مطالعه اثر کلازن از اکتینیدین مورد بررسی قرار گرفته است (۱۳-۱۵). بطور کلی نتایج این مطالعات حاکی از آن است که اکتینیدین قادر به هیدرولیز مولکول طبیعی کلازن نیست ولی آتلوكلازن (کلازن پس از هضم جزئی توسط پپسین) را هیدرولیز می کند (۱۵).

برخلاف نتایج این مطالعات، مصطفایی و همکاران نشان دادند که اکتینیدین در شرایط دارای pH خنثی یا قلیایی ضعیف قادر به هضم کلازن نوع یک است (۱۶). براین اساس و با توجه به قابلیت اکتینیدین در ترد کردن گوشت، اثر این آنزیم در غلط های مختلف در مقایسه با کلازن از برای جadasازی هپاتوسیت ها از کبد رت و کشت این سلول ها مورد مطالعه قرار گرفت.

روش کار:

در این مطالعه تجربی آنزیم اکتینیدین میوه کیوی طبق روش استفاده شده در مطالعه مصطفایی و همکاران طی مراحل رسوب دهی با سولفات آمونیوم و کروماتوگرافی تعویض یون تخلیص شد (۱۷). موش بزرگ (رت) از نژاد ویستار (انستیتو رازی ایران)، محیط کشت و پلیامز-ای، کلازن (Sigma-Aldrich)، جنتامايسین

۱۱-۲۴ ساعت بعد از کشت سلول های هپاتوسیت، محیط کشت تعویض شد. مورفولوژی سلول ها در تمام مراحل کشت با میکروسکوپ معکوس بررسی شد. تعیین تعداد و درصد بقای هپاتوسیت های جدا شده: برای شمارش تعداد هپاتوسیت های جدا شده به وسیله آنزیم، یک قطvre از سوسپانسیون سلولی روی لام نئوبار ریخته شد و لام روی آن قرار گرفت. تعداد سلول ها در ۴ خانه بزرگ کناری شمارش شد. در نهایت عدد حاصل از شمارش در ضریب رقت سوسپانسیون سلولی و عدد ۱۰ ضرب شد. برای تعیین درصد بقای هپاتوسیت های جدا شده، ۲۵۰ میکرولیتر از تعلیق سلولی با ۳ میلی لیتر بافر فسفات نمکی (PBS) مخلوط شد و در ۳۰۰۰ دور به مدت ۳ دقیقه سانتریفیوژ گردید. شستشو با PBS ۲-۳ بار انجام شد. پس از آخرین سانتریفیوژ، مایع رویی دور ریخته شد و به رسوب باقی مانده، ۳ میلی لیتر PBS اضافه گردید و با پیپتاژ سلول ها به تعلیق درآمدند. یک قطvre از این سوسپانسیون با یک قطvre از تریپان بلو ۰/۴٪ مخلوط شد. قطvre ای از تعلیق حاصله روی لام قرار گرفت. تعداد کل سلول ها و سلول های رنگ شده با تریپان بلو شمارش گردید. سپس از فرمول زیر درصد بقای سلول ها بدست آمد:

۱۰۰ × تعداد کل سلول ها / تعداد سلولهای رنگ نگرفته = درصد بقاء
رنگ آمیزی هپاتوسیت ها با روش پاپانیکولا : ابتدا هپاتوسیت های چسبیده به کف پلیت با پیپتاژ از کف جدا شده و به صورت تعلیق درآمدند. چند قطvre از این تعلیق روی لام ریخته شد و با متابول به مدت ۱ ساعت در دمای آزمایشگاه فیکس شد. برای رنگ آمیزی با روش پاپانیکلا، مراحل متعدد ثبیت و رنگ آمیزی با هماتوکسیلین و ائوزین صورت گرفت سپس لام ها زیر میکروسکوپ نوری مورد بررسی قرار گرفتند(۱۸).

نتایج :

در این مطالعه هپاتوسیت های کبد توسط اکتینیدین در مقایسه با کلازن از غلظت های مختلف با روش های مکانیکی، پروفیوژن یک مرحله ای و پروفیوژن دوم مرحله ای جدا شدند. در روش های خرد کردن مکانیکی و پروفیوژن یک مرحله ای همراه با هپاتوسیت های جدا شده، تعداد زیادی گلبول قرمز نیز جدا شد و تعداد هپاتوسیت های جدا شده کم بود. برای حل این مشکلات، دستگاه پروفیوژن در آزمایشگاه طراحی گردد. در روش پروفیوژن دوم مرحله ای

جداسازی و کشت اولیه هپاتوسیت های کبدی

۱- یک پنبه آغشته به کلروفرم درون یک محفظه بسته قرار گرفت. رت در این محفظه قرار داده شد تا بیهوش شود. ۲۰ میکرولیتر هپارین به درون سیاهرگ رانی حیوان تزریق شد.

۲- زیر هود بیولوژی و با وسائل استریل، شکم حیوان تا زیر گردن باز شد و ورید اجوف تحتانی در بالای کبد توسط یک پنس گیره دار بسته شد.

۳- روده ها به سمت چپ بدن حیوان و کبد به سمت بالا کنار زده شد تا سیاهرگ پورتال به وضوح دیده شود.

۴- یک سوزن پروانه ای G23 (MEHECO) که از قبل به دستگاه پروفیوژن متصل شده، به درون سیاهرگ پورتال فرو برد شد و سوزن در محل مربوطه با یک پنس گیره دار محکم گردید.

۵- دستگاه روشن شد و بافر ۲ با سرعت تزریق ۱۰ میلی لیتر در هر دقیقه تنظیم شد. ۲- ۱ دقیقه پس از شروع تزریق، یکی از شاخه های رگ پورتال قطع شد

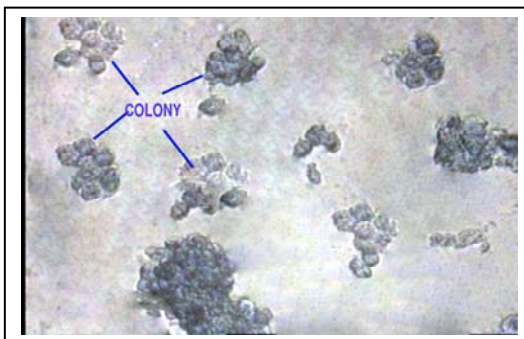
۶- تزریق بافترا سفیدشدن کبد (۱۰-۱۵ دقیقه) ادامه یافت. سپس محلول اکتینیدین تخلیص شده یا کلازن از جایگزین بافر ۲ شد. غلظت آنزیم در آزمون های جداگانه شامل ۰/۲، ۰/۴، ۰/۶، ۰/۸ یا ۱ میلی گرم در میلی لیتر و سرعت تزریق آن معادل ۷ میلی لیتر در دقیقه برای مدت ۱۵ دقیقه بود.

۷- کبد به طور کامل از بدن حیوان جدا شد و درون ظرف حاوی ۲۰ میلی لیتر محلول آنزیم (اکتینیدین یا کلازن از با غلظت های ذکر شده در مرحله ۶) قرار گرفت.

۸- ظرف حاوی کبد، درون انکوباتور شیکردار به مدت ۲۰-۳۰ دقیقه با سرعت بالا در دمای ۳۷ درجه سانتیگراد تکان داده شد.

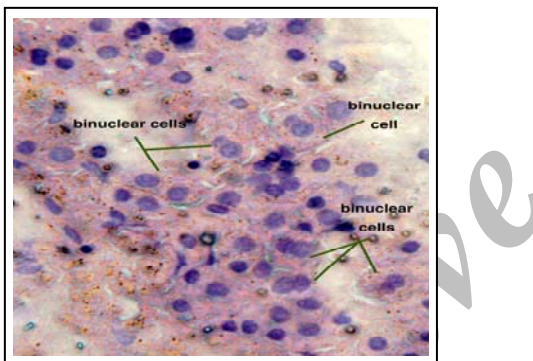
۹- مخلوط سلولی حاصله از دو لایه گاز استریل عبور داده شد. تعلیق سلولی بدست آمده در ۳۰۰۰ دور در دقیقه به مدت ۵ دقیقه سانتریفیوژ شد. رسوب سلولی درون بافر ۲ به تعلیق در آمد. سلول ها دو بار با بافر ۲ شسته شده و بعد از آخرین سانتریفیوژ، در ۵ میلی لیتر محیط کشت و بیلیامز-ای حاوی ۱۰٪ FCS به تعلیق درآمدند.

۱۰- سلولهای جدا شده به یک پلیت (قطر ۶۰ میلی متر، NUNC) کلازن دار منتقل گردید. پلیت در محیط ۳۷ درجه سانتی گراد با ۵٪ CO₂ و ۹۵٪ O₂ انکوبه شد.



شکل ۲: مورفولوژی هپاتوسیت های جدا شده توسط آنزیم اکتینیدین بعد از ۲۴ ساعت (میکروسکوپ معکوس با بزرگنمایی ۱۰۰).

۴۸ ساعت پس از جداسازی، سلول ها به صورت شش ضلعی درآمدند و محکم به کف پلیت کلاژن دار چسبیدند. مشخصه بارز هپاتوسیت ها در این مرحله، داشتن یک یا دو هسته بزرگ و گرد است که پس از رنگ آمیزی سلول با روش پاپانیکولا، کاملاً مشخص بودند (شکل ۳).

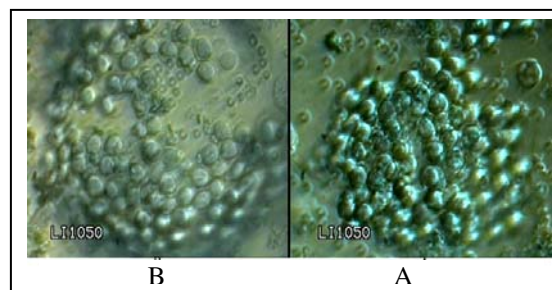


شکل ۳: مورفولوژی هپاتوسیت های جدا شده با آنزیم اکتینیدین ۴۸ ساعت پس از جداسازی (میکروسکوپ نوری با بزرگنمایی ۲۰۰).

این سلول ها در محیط کشت ویلیامز- ای حاوی ۱۰٪ FCS بدون افزودن مواد دیگر مانند هورمون ها و فاکتورهای رشد، ۴-۵ روز زنده ماندند و برای کشت طولانی تر نیازمند فاکتورهای رشد بودند.

نتایج حاصل از شمارش و تعیین درصد بقای هپاتوسیت های جدا شده از کبد موش صحراوی به وسیله آنزیم اکتینیدین: نتیجه حاصل از شمارش هپاتوسیت های جدا شده با استفاده از پرفیوژن دومرحله ای اکتینیدین، تعداد ۶×10^6 سلول در هر میلی لیتر بود. طبق نتیجه به دست آمده، غلظت 0.4 میلی گرم در میلی لیتر آنزیم اکتینیدین بیشترین هپاتوسیت سالم را از کبد استخراج نمود و به عنوان غلظت بهینه آنزیم انتخاب گردید.

آلودگی هپاتوسیت های جدا شده با گلبول قرمز بسیار کم بود، به طوری که پس از سه بار شستشو و سانتریفیوژ، گلبول های قرمز کمی که با هپاتوسیت ها استخراج شده بودند، از محیط عمل خارج شدند. در این روش قبل از تزریق آنزیم، کبد در حالی که به دستگاه پرفیوژن وصل بود از بدن موش جدا شد و آویزان نگه داشته شد و در هنگام پرفیوژن آنزیم، سوسپانسیون خروجی از کبد در ظرف استریل جمع آوری گردید. سپس این سوسپانسیون از گاز استریل عبور داده شد و سانتریفیوژ گردید، اما به دلیل این که این مراحل نتیجه لازم را نداشت با مراحل ۷-۸ گفته شده در قسمت مواد و روش ها جایگزین شد. در این مطالعه، غلظت های مختلف آنزیم اکتینیدین (0.2 ، 0.4 ، 0.6 و 0.8 میلی گرم در میلی لیتر) در مقایسه با کلاژنаз برای جداسازی هپاتوسیت ها استفاده شد، نتایج تعداد سلول بدست آمده و درصد بقا نشان داد که غلظت 0.4 میلی گرم در میلی لیتر این آنزیم در شرایط فوق، غلظت بهینه جهت جداسازی هپاتوسیت های زنده و سالم از کبد رت و مشابه نتایج کلاژناز در غلظت $0.2-0.4$ میلی گرم در میلی لیتر است. هپاتوسیت های جدا شده حاصل از پرفیوژن دومرحله ای آنزیم اکتینیدین (بالغلظت 0.4 میلی گرم در میلی لیتر) در پلیت های حاوی کلاژن کشت داده شدند. این سلولها، کروی بوده و سیتوپلاسم شفاف و سالم داشتند. هپاتوسیت ها در ابتدا گرد، به هم چسبیده و توده ای شکل بودند و هسته و شش ضلعی بودن آنها مشخص نبود (شکل ۱).



شکل ۱: مورفولوژی هپاتوسیت های جداشده توسط آنزیم اکتینیدین (A) و کلاژنаз (B) (بالا فاصله پس از جداسازی (میکروسکوپ معکوس با بزرگنمایی ۴۰۰).

۲۴ ساعت پس از جداسازی، تعداد کمی از این سلول ها از حالت توده ای به حالت منفرد درآمده و مورفولوژی آنها از حالت گرد به حالت شش ضلعی تغییر گرد و به طور ضعیف به کف پلیت متصل شدند (شکل ۲).

می شود (۲۸-۲۶).

در بررسی منابع مختلف، تاکنون مطالعه‌ای در ارتباط با جداسازی سلولها با اکتینیدین یافت نشده است. لذا مطالعه حاضر ظاهراً اولین مطالعه‌ای است که با کمک پروتئازی جدید به جداسازی هپاتوسیت‌ها پرداخته و به نتایج قبل توجهی دست یافته است. تا کنون چند مطالعه در مورد اثر هیدرولیزی آنزیم اکتینیدین روی کلژن انجام گرفته که در آنها اثر هیدرولیزی آنزیم بر مولکول کلژن دیده نشده است. برای مثال، سوجی یاما و همکارانش گزارش کردند که اکتینیدین هیچ گونه فعالیت کلژن‌زای ندارد (۱۳). موری موتو و همکارانش نیز نشان دادند که اکتینیدین قادر نیست در شریط اسیدی کلژن طبیعی را هیدرولیز کند اما این آنزیم در pH ۵ اسیدی آتلوكلژن (کلژن پس از هضم جزیی توسط پیپسین) را می‌شکند (۱۵). در مقایسه با مطالعات فوق، مصطفایی و همکارانش نشان دادند که آنزیم اکتینیدین در بافر استات با pH معادل ۴ و بافر سیترات با pH معادل ۵/۵ بر کلژن نوع اول اثر قابل توجهی ندارد ولی در pH معادل ۷ (بافر فسفات) و بالاتر از آن (باfer تریس) این نوع کلژن را کاملاً هیدرولیز می‌نماید (۱۶). لذا این آنزیم در pH های خنثی و قلیایی ضعیف، اثرات کلژن‌زای قابل توجهی دارد. براین اساس، به نظر می‌رسد کارایی مطلوب اکتینیدین در جداسازی سلول‌های کبدی ناشی از فعالیت کلژن‌زای آن باشد.

نتیجه نهایی:

باتوجه به کم بودن مقدار کلژن‌زای در منابع باکتریایی و یا جانوری و مشکلات تخلیص این آنزیم‌ها (۳۱-۳۹)، اکتینیدین باتوجه به وفورش در میوه کبوی و ساده تر بودن مراحل تخلیص، میتواند جایگزین مناسبی برای کلژن‌زای در جداسازی سلولها از بافت‌های جامد باشد. به هر حال، با انجام مطالعات بیشتر در خصوص اثر اکتینیدین بر انواع دیگر کلژن و اثر این آنزیم در جدا سازی سلول از سایر بافت‌ها بخصوص بافت‌های حاوی کلژن بیشتر، صحت چنین ادعایی روشن خواهد شد و به ارزش این پروتئاز گیاهی در کنار ارزش آن در صنایع غذایی و دارویی خواهد افزود.

سپاسگزاری:

با تشکر از همکاری و مساعدت آقای دکتر داریوش شکیبایی در تهیه حیوان آزمایشگاهی مورد نیاز، خانم مریم چلبی در تخلیص آنزیم اکتینیدین و پرسنل مرکز تحقیقات بیولوژی پزشکی.

درصد بقای هپاتوسیت‌های جدا شده در غلظت ۰/۴ میلی‌گرم در میلی‌لیتر از آنزیم اکتینیدین ۹۵-۹۰٪ تخمین زده شد. این نتیجه نشان داد که سلول‌ها، سالم و زنده جدا شده‌اند و غلظت ۰/۴ میلی‌گرم در میلی‌لیتر این آنزیم و روش پرفیوژن دومرحله‌ای برای جداسازی هپاتوسیت‌های کبد مناسب است. اکتینیدین همچون کلژن‌زای در غلظت‌های پایین‌تر از ۰/۴ میلی‌گرم در میلی‌لیتر تعداد کمتری از هپاتوسیت‌ها را استخراج نمود و در غلظت‌های بالاتر از ۰/۴ میلی‌گرم در میلی‌لیتر درصد بقای سلول‌های جدا شده کمتر بود.

بحث:

کلژن‌زایها از انتخابی ترین پروتئازها در جداسازی انواع سلول‌ها از بافت‌های مختلف از جمله سلول‌های سالم پارانشیمی از بافت کبد انسان و موش هستند (۲۰،۱۹). برای اولین بار در سال ۱۹۶۹ روشی برای جداسازی هپاتوسیت‌های سالم با درصد بقای بالا گزارش گردید. این روش شامل هیدرولیز بافت کبد بوسیله پرفیوژن مستقیم کبد با یک محلول نمکی حاوی آنزیم‌های کلژن‌زای و هیالورونیداز بود (۲۱). سگلن (Seglen) نشان داد که اگر بیون کلیسیم در پرفیوژن اولیه به بافت کبد حذف گردد و سپس محلول حاوی کلژن‌زای اضافه شود، نتیجه بهتری بدست خواهد آمد (۲۲). در بسیاری از مطالعات دیگر نیز برای جداسازی هپاتوسیت‌ها از پرفیوژن دو مرحله‌ای کبد استفاده شد (۲۷،۲۳-۲۰). در مطالعه حاضر که برای اولین بار در آن از پروتئاز جدیدی به عنوان جایگزین کلژن‌زای برای جداسازی سلول‌های کبدی استفاده شد، روش پرفیوژن دو مرحله‌ای به نتیجه بهتری نسبت به روش هیدرولیز مکانیکی بافت بدون پرفیوژن یا پرفیوژن نیز یک مرحله‌ای انجامید. درصد بقای هپاتوسیت‌های جدا شده با غلظت بهینه آنزیم اکتینیدین در این مطالعه ۹۰-۹۵٪ تخمین زده شد که قابل مقایسه با نتایج حاصل از کلژن‌زای در این مطالعه و مطالعات دیگران است. برای مثال، پوچیانی و همکارانش درصد بقای هپاتوسیت‌های جدا شده از کبد موش صحرایی با استفاده از کلژن‌زای را ۹۰-۹۸٪ (۲۴)، وانگ و همکارانش، ۹۰-۹۸٪ در مطالعه ای دیگر (۲۸،۲۶) و آتماکا، ۹۵٪ (۲۷) گزارش کرده‌اند. از نظر تعداد سلول‌های جدا شده با آنزیم اکتینیدین در مطالعه حاضر در مقایسه با آنزیم کلژن‌زای در این مطالعه و مطالعات دیگران نیز نتایج مشابه و قابل مقایسه ای دیده

منابع:

1. Komai T, Shigehara E, Tokui T, Koga T, Ishigami M, Kuroiwa C, et al. Carrier-mediated uptake of pravastatin by rat hepatocytes in primary culture. *J Biochem Pharmacol.* 1992; 43(4): 667-670.
2. Parkinson A. An overview of current cytochrome P450 technology for assessing the safety and efficacy of new materials. *J Toxicol Pathol.* 1996; 24: 45-57.
3. LeCluyse EL. Human hepatocyte culture systems for the in vitro evaluation of cytochrome P450 expression and regulation. *Eur J Pharm Sci.* 2001;13(4): 343-368.
4. LeCluyse EL, Madan A, Hamilton G, Carroll K, Dehaan R, Parkinson A. Expression and regulation of cytochrome P450 enzymes in primary cultures of human hepatocytes. *J Biochem Mol Toxicol.* 2000; 14: 177-188.
5. Culav EM, Clark CH, Merrilees MJ. Connective tissues: Matrix composition and its relevance to physical therapy. *J Physic Ther* 1999; 79(3): 308-319.
6. Kleinman HK, Klebe RJ, Martin GR. Role of collagenous matrices in the adhesion and growth of cells. *J Cell Biol* 1981;88:473-485.
7. Goldberg GI, Wilhelm SM, Kronberger A, Bauer EA, Grant GA, Eisen AZ. Human fibroblast collagenase. *J Biol Chem* 1986; 261 (14): 6600-6605.
8. Boland MJ, Hardman MJ. Kinetic studies on the thiol protease from *Actinidia chinensis*. *FEBES Lett.* 1972; 27(2): 282-284.
9. Reid DJ, Hussain S, Bailey TSF, Sonkaria S, Sreedharan SK, Thomas EW, et al. Isomerization of the uncomplexed actinin molecule: kinetic accessibility of additional steps in enzyme catalysis provided by solvent perturbation. *J Biochem.* 2004; 378: 699-703.
10. Paul W, Amiss J, Try R, Praekelt U, Scott R, Smith H. Correct processing of the Kiwifruit protease actinin in transgenic tobacco requires the presence of the C-terminal propeptide. *J Plant Physiol.* 1995; 108: 261-268.
11. Podivinsky E, Forsterl RLS, Gardner RC. Nucleotide sequence of actinin, a kiwi-fruit protease. *J Nucl Acid Res* 1989; 17(20): 8363.
12. Carne A, Moore CH. The amino acid sequence of the tryptic peptides from actinin, a proteolytic enzyme from the fruit of *Actinidia chinensis*. *J Biochem.* 1978; 173: 73-83.
13. Sugiyama S, Ohtsuki K, Sato K, Kawabata M. Enzymatic properties, substrate specificities and pH-activity profiles of two kiwi-fruit proteases. *J Nutr Sci Vitaminol (Tokyo)* 1997; 43(5): 581-9.
14. Ohyama H, Enomoto T, Mitsunaga S. Variety of kiwifruit protease and their collagenolytic activity. *Nippon Eiyo Syokuyo Gakkaishi* (in Japanese). 1997; 50: 57-62.
15. Morimoto K, Kuni S, Hamano K, Tonomura B. Preparation and structural analysis of actinin-processed atelocollagen of Yellowfin Tuna (*Thunnus albacares*). *J Biosci Biotechnol Biochem.* 2004; 68: 861-867.
16. مصطفایی علی، چلبی مریم، فردوسی محمد اسماعیل. تخلیص اکتینیدین میوه کیوی و بررسی فعالیت پروتئولیتیکی آن. گزارش نهایی طرح تحقیقاتی، مرکز تحقیقات بیولوژی پژوهشی، دانشگاه علوم پزشکی کرمانشاه، سال ۱۳۸۳.
17. مصطفایی علی، چلبی مریم. اکتینیدین میوه کیوی: خالص سازی و بررسی مقدار آن در واریته های داخلی. مجله علوم و فنون کشاورزی و منابع طبیعی، دوره دهم، شماره ۲۳۰-۲۲۳: ۱۳۸۵، ۳.
18. Ross MH, Kaye GI, Pawlina W. *Histology: a text and atlas.* 4th ed. Philadelphia: Lippincott Williams and Wilkins, 2003, pp. 561-568.
19. Maekubo H, Ozaki S, Mitmaker B, Kalant N. Preparation of human hepatocytes for primary culture. *J In vitro* 1982;18:483-491.
20. McGowan J, Bucher A, Nancy LR. The isolation of adult rat liver parenchymal cells. *J Tissue Culture Methods* 1985;9(2):49-52.
21. Berry MN, Friend DS. High yield preparation of isolated rat liver parenchymal cells. *J Cell Biol* 1969; 43: 506-520.
22. Seglen PO. Preparation of isolated rat liver cells. *Methods Cell Biol.* 1976; 13: 29-34.
23. Chen HL, Wu HL, Fon CC, Chen PJ, Lai MY, Chen DS. Long-term culture of hepatocytes from human adults. *J Biomed Sci.* 1998; 5: 435-440.
24. Puviani AC, Ottolenghi C, Tassinari B, Pazzi P, Morsiani E. An update on high-yield hepatocyte isolation methods and on the potential clinical use of isolated liver cells. *Comp Biochem Physiol.* 1998; 121: 99-109.
25. Li J, Li LJ, Chao HC, Yang Q, Liu XL, Sheng JF, et al. Isolation and short term cultivation of swine hepatocytes for bioartificial liver support system. *Hepatobiliary Pancreat Dis Int.* 2005; 4(2): 249-253.
26. Wang YJ, Liu HL, Guo HT, Wen HW, Liu J. Primary hepatocyte culture in collagen gel mixture and collagen sandwich. *J Gastroenterol.* 2004; 10(5): 699-702.
27. Atmaca M. Improvement of the original isolation procedure for hormone studies in short-time culture. *J Dicle Tip Dergisi.* 2005; 32(2): 63-68.

28. Wang YJ, Li MD, Wang YM, Ding J, Nie OH. Simplified isolation and spheroidal aggregate culture of rat hepatocytes. *Wound J Gasterol.* 1998; 4(1): 74-76 .
29. Wittstock M, Flemmig TF, Schmidt H, Mutter R, Karch H. Serodiagnosis of *Porphyromonas gingivalis* infection by immunoblot analysis with recombinant collagenase. *J Clin Microbiol* 1996; 34(10): 2411-1413.
30. Yoshihara K, Matsushita O, Minami J, Okabe A. Cloning and nucleotide sequence analysis of the colH gene from *Clostridium histolyticum* encoding a collagenase and a gelatinase. *J Bactriol.* 1994; 176(21): 6489-6496.
31. Murphy G, Reynolds JJ, Bretz U, Baggioolini M. Partial purification of collagenase and gelatinase from human polymorphonuclear leucocytes: Analyses of their actions on soluble and insoluble collagens. *J Biochem.* 1982; 203: 209-221.

Archive of SID